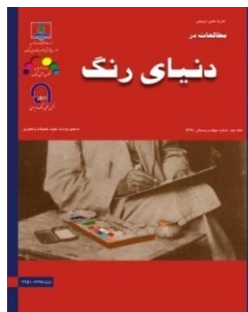


مقالات پذیرفته شده



نانوکامپوزیت‌های هوشمند چارچوب فلزی-آلی MOF و کاربردهای آن‌ها در حذف آلاینده‌های مواد رنگزا و زیست محیطی

مهرناز قراگوزلو^{*}، علی محمدصادق

JSCW-2307-1164

تاریخ دریافت: ۱۴۰۲-۰۴-۲۶

تاریخ اصلاح: ۱۴۰۲-۰۷-۱۰

تاریخ پذیرش: ۱۴۰۲-۰۷-۱۰

خواهشمند است این مقاله به صورت زیر در مراجع قید شود:

مهرناز قراگوزلو، علی محمدصادق، "نانوکامپوزیت‌های هوشمند چارچوب فلزی-آلی MOF و کاربردهای آن‌ها در حذف آلاینده‌های مواد رنگزا و زیست محیطی"، نشریه علمی مطالعات در دنیای رنگ نگ ۱۴۰۲، JSCW-2307-1164. این فایل PDF مقاله ویرایش نشده است که برای چاپ پذیرفته شده است. ماکت مقاله توسط دفتر علوم و فناوری رنگ تهیه شده و قبل از چاپ ویرایش نهایی به نویسنده مسئول مقاله ارسال می‌شود.

مقاله پژوهشی

نانوکامپوزیت‌های هوشمند چارچوب فلزی-آلی MOF و کاربردهای آن‌ها در حذف آلاینده‌های مواد رنگزا و زیست محیطی

مهرناز قراجوزلو^{۱*}، علی محمدصادق^۲

- ۱- دانشیار، گروه پژوهشی نانوفناوری رنگ، پژوهشگاه رنگ، تهران، ایران، صندوق پستی ۱۶۷۶۵-۶۵۴
۲- کارشناس ارشد، آزمایشگاه جنبه‌های مکانیکی خوردگی، دانشکده مهندسی متالورژی و مواد، دانشکدگان فی دانشگاه تهران، تهران، ایران، صندوق پستی ۱۱۱۵۵-۴۵۶۳

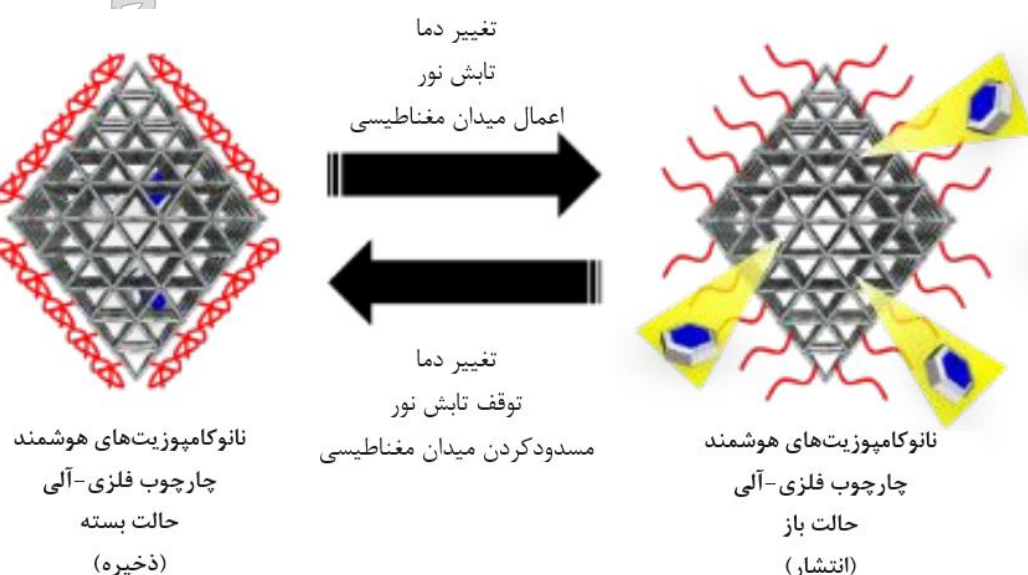
* gharagozlu@icrc.ac.ir

چکیده

مسائل مربوط به آلاینده‌های رنگزا و محیط‌زیست مانند گرم شدن کره زمین، آلودگی آب و تولید زباله روزبه روز ضروری‌تر شده و زندگی انسان‌ها را به خطر می‌اندازد. توسعه مواد کاربردی جدید برای مقابله با جنین مخاطرات زیست‌محیطی هنوز یک فرآیند مداوم است. نانوساختارهای چارچوب فلزی-آلی MOF‌ها، نانومواد متخلخلی با ظرفیت جذب بالای آلاینده‌های زیست‌محیطی هستند. با ترکیب بخش‌های پاسخگو به حرکت‌ها در ساختارهای MOF‌ها ترکیب کردند که منجر به تشکیل نانوکامپوزیت‌های هوشمند پاسخگو به نور می‌شود. همچنین در نانوکامپوزیت‌های هوشمند پاسخگو به حرارت وجود واحدهای پلیمری پاسخگوی حرارتی در ساختار MOF باعث می‌شود دارای خواص فیزیکی و شیمیایی حساس به تغییرات دما باشند. بازیافت و جداسازی نانوکامپوزیت‌های MOF را می‌توان با ترکیب نانوذرات مغناطیسی در ساختار آن‌ها و ساخت نانوکامپوزیت‌های هوشمند پاسخگو به مغناطیس تسهیل کرد. این پژوهش به بررسی کاربردهای نانوکامپوزیت‌های هوشمند پاسخگو به حرارت، نور و مغناطیس برای حذف آلاینده‌های رنگزا و زیست‌محیطی می‌پردازد. همچنین در این مقاله، چالش‌های مرتبط با استفاده از نانوکامپوزیت‌های هوشمند به عنوان ترکیبات جدید در کاربردهای زیست‌محیطی و چشم‌انداز آینده آن‌ها مورد بحث قرار گرفته‌اند.

واژه‌های کلیدی: چارچوب فلزی-آلی هوشمند، نانوکامپوزیت‌های پاسخگو به نور، نانوکامپوزیت‌های پاسخگو به گرمای، نانوکامپوزیت‌های پاسخگو به مغناطیس، حذف آلاینده‌های مواد رنگزا و زیست‌محیطی

چکیده تصویری



Smart Nanocomposites of Metal-organic Framework (MOF) and Their Applications in Removing Dye and Environmental Pollutants

Mehrnaz Gharagozlou^{*1}, Ali Mohammadsadegh²

1- Department of Nanomaterials and Nanocoatings, Institute for Color Science and Technology, P. O. Box: 16765-654, Tehran, Iran.

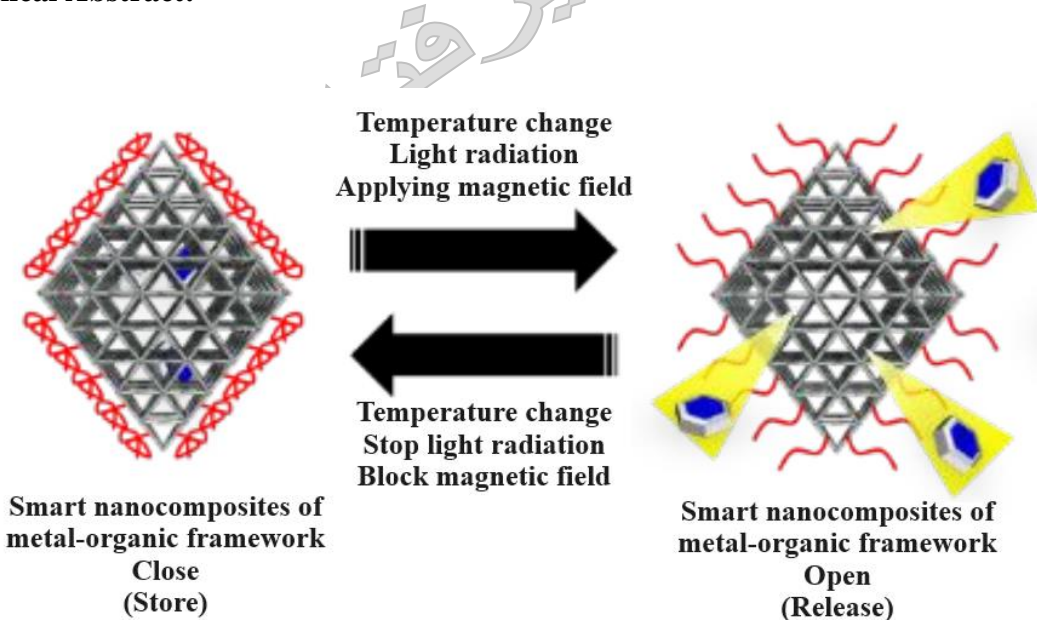
2- Mechanically Assisted Corrosion Lab. , School of Metallurgy and Materials Engineering, College Engineering, University of Tehran,Tehran, Iran, P. O. Box: 11155 -4563

Abstract

Environmental related issues such as global warming, water pollution, and waste production are becoming ever-more urgent and are endangering the lives of human beings. The development of new functional materials to deal with such environmental hazards is still an ongoing process. Metal-organic framework nanostructures, MOFs, are highly porous materials with generally high adsorption capacity of environmental pollutants. The incorporation of stimuli-responsive moieties in their structures confer them with additional properties such as being easily recovered and recyclability. Some researchers have successfully incorporated photoactive species into the structures of MOFs resulting in the formation of light-responsive nanocomposites. Also, in smart heat-responsive nanocomposites, the presence of thermo-responsive polymeric units in the structure of an MOF make it to have physicochemical properties that are sensitive to temperature changes. Recycling and separation of MOF nanocomposites can be facilitated by the incorporation of magnetic nanoparticles into their structures. This review investigates the applications of smart nanocomposites responsive to heat, light and magnetism to remove dye and environmental pollutants. Also, in this article, the challenges related to the use of smart nanocomposites as new compounds in environmental applications and their future prospects are discussed can be facilitated by incorporating magnetic nanoparticles into their structure and making smart nanocomposites responsive to magnetism.

Keywords: Smart metal-organic framework, Light-responsive nanocomposites, Heat-responsive nanocomposites, Magnetic-responsive nanocomposites, Removal of dye and environmental pollutants

Graphical Abstract:



مقاله پژوهشی شماره ۵

رشد سریع جمعیت انسانی و صنعتی شدن جهان منجر به تخلیه مقادیر زیادی از آلاینده‌ها به محیط‌زیست در سال‌های اخیر شده است (۱،۲). این آلاینده‌ها شامل آلاینده‌های گازی نظیر N_2 و غیره، آلاینده‌های معدنی مانند کروم، کادمیوم، جیوه، آرسنیک، فلوئور و همچنین آلاینده‌های آلی شامل مواد رنگزا، آفتکش‌های آلی، روغن‌ها، آلاینده‌های آلی پایدار و میکروپلاستیک‌ها می‌شوند (۳، ۴). بررسی ها نشان می‌دهد محیط‌زیست به شدت توسط این آلاینده‌ها آسیب‌دیده و سلامت انسان‌ها به خطر افتاده است (۴–۶)، بنابراین، لازم است اقدامات مؤثری برای تصفیه و حذف مناطق آلوده انجام شود تا اثرات زیست‌محیطی این آلاینده‌ها به حداقل برسد. روش‌هایی که به طور موفقیت‌آمیزی برای تصفیه محیط‌های آلوده استفاده شده‌اند عبارت‌اند از لخته سازی^۱ (۷، ۳، ۸)، انعقاد^۲ (۹، ۶)، صافش (۱۱) و جذب (۱۲، ۱۳). در میان این روش‌ها، استفاده از جذب سطحی توسط نانوجاذب‌های جدید در سال‌های اخیر رواج بیشتری یافته است که این را می‌توان به اقتصادی بودن و سادگی روش به عنوان یک فرایند تصفیه نسبت داد (۱۴–۱۷).

در سال‌های گذشته تحقیقات زیادی برای جاذب‌های سازگار با محیط‌زیست و ظرفیت جذب بالا برای آلاینده‌های مواد رنگزا و محیطی صورت گرفته است (۱۸–۲۱)؛ بنابراین، برخی از محققان از جاذب‌های مبتنی بر پلی‌ساکارید (۲۲، ۲۳)، نانوکامپوزیت‌های پلی‌دوپامین (۲۴، ۲۵)، خاک رس طبیعی (۲۶)، چارچوب‌های فلزی-آلی^۳ (۲۷، ۲۸) و نانوکامپوزیت‌های مبتنی بر حلal یوتکتیک عمیق استفاده کرده‌اند (۲۹). در همین راستا چارچوب‌های فلزی-آلی ترکیبات پلیمری هم‌آرایی^۴ هستند که از فلز به عنوان گره و پیوندهای^۵ آلی به عنوان ارتباط‌دهنده تشکیل شده‌اند (۳۰). به منظور حذف آلاینده‌های محیط‌های آلوده، MOF‌ها نظر سیاری از محققین را برای تصفیه محیطی به خود جلب کرده است (۳۱–۳۳). این مشاهدات را می‌توان به کارایی بالای MOF‌ها و نانوکامپوزیت‌های آن‌ها به عنوان جاذب آلاینده‌های محیطی درنتیجه‌ی تخلخل، معماری منفذی و عملکرد بالا و همچنین وجود بسیاری از مکان‌های جذب فعال نسبت داد (۳۵)، محققان از انواع بسیاری از MOF‌ها به منظور تصفیه محیط‌زیست استفاده کرده‌اند. بعضی از این موارد عبارت‌اند از چارچوب‌های زئولیتی ایمیدازولات^۶ (ZIF) MOF‌های مبتنی بر کلسیم برای حذف ترکیبات مختلط کننده غدد درون‌ریز از محیط آبی، کاربردی به عنوان جاذب برای غنی‌سازی انتخابی آلاینده‌های دارویی در نمونه‌های آبی. نتایج تجربی نشان داد که استفاده از جاذب‌های مبتنی بر MOF معمولاً با بازیابی استخراج نسبتاً بالا و همچنین ظرفیت‌های جذب بالا همراه است (۳۶، ۳۷).

اگرچه زئولیت‌های مصنوعی (که فقط از اجزای غیرآلی مانند سیلیکات‌ها و آلومینات‌ها تشکیل شده‌اند) از دهه ۱۹۴۰ به طور گستردۀ مورد مطالعه قرار گرفته‌اند، تا اواخر دهه ۱۹۸۰ و اوایل دهه ۱۹۹۰ اولین مواد متخلخل کریستالی با اندازه منافذ بزرگ‌تر از ۱ و ۲ نانومتر بود، به ترتیب گزارش شدند. در سال ۱۹۹۵، یک طبقه منحصر به فرد از مواد متخلخل کریستالی، به نام چارچوب‌های فلزی-آلی (MOFs) توسط یاغی^۷، پدید آمد و از آن زمان به دلیل پیوندهای قوی بین یون‌های فلزی و پیوندهای آلی باردار، خود را با تخلخل دائمی و مساحت سطح بالا متمایز کرد اگرچه مفهوم اولیه تخلخل در مواد فلزی-آلی با ساختارهای گسترده در اواخر دهه ۱۹۸۰ و اوایل دهه ۱۹۹۰ تصور شد، تا اواخر دهه ۱۹۹۰ اولین اندازه‌گیری‌های تجربی جذب گاز این مواد هیبریدی معدنی-آلی گزارش نشد. کیتاگاوا^۸ ایزوترم‌های جذب گاز در دمای اتاق را در فشارهای بالا گزارش کرد و نشان داد که پلیمرهای فلز-آلی قادر به جذب مولکول‌های مهمان فاز گاز هستند. در سال ۱۹۹۸، یاغی اوین MOF را گزارش کرد که تخلخل دائمی را با ایزوترم‌های جذب واحد نیتروژن در دمای ۷۷ کلوین و فشار کم نشان می‌داد. (۳۸)

با این حال، استفاده از نانوجاذب‌های مبتنی بر MOF برای تصفیه محیط‌زیست معمولاً با وجود تعداد محدودی از فن‌ها برای بازیابی آن‌ها پس از فرآیند جذب مختلط می‌شود (۳۹، ۴۰). علاوه بر این، دفع MOF‌های غنی‌شده معمولاً با استفاده از حلال‌های آلی است که برخی از آن‌ها برای محیط‌زیست سمی هستند (۳۹، ۴۰). درنتیجه، محققان در تلاش هستند تا نانوکامپوزیت‌های MOF را بسازند که به راحتی بازیافت شوند. یکی از این راهبردها ساخت نانوکامپوزیت‌های چارچوب فلزی-آلی هوشمند است که به محرک‌های مانند دما، نور و میدان مغناطیسی پاسخ می‌دهند. استفاده از MOF‌های هوشمند پاسخگو به محرک‌ها در خلال تصفیه محیط‌زیست در سال‌های اخیر سرعت بیشتری به دست آورده است (۴۱–۴۳) (جدول ۱).

به عنوان مثال، وی و همکاران (۴۴)، از MOF هوشمند پاسخگوی مغناطیسی مبتنی بر حلال عمیق یوتکتیک برای جذب مواد دارویی و محصولات مراقبت شخصی از فاضلاب استفاده کرد. موگل و همکاران (۴۴) با موفقیت از MOF‌های هوشمند پاسخگو به نور برای حذف

¹ Flocculation

² Coagulation

³ Metal-organic framework

⁴ Coordination

⁵ Ligand

⁶ Zeolitic Imidazolate Frameworks

⁷ Yaghi

⁸ Kitagawa

مقاله پژوهشی شماره ۵

جدی مواد رنگرا از فاضلاب استفاده کرد در حالی که ژانگ^۱ و همکاران (۴۵) عملکرد جذب MOF‌های هوشمند پاسخگو به pH اصلاح شده با کیتوزان و آتابولزیت^۲ را در طی اصلاح آب آلوده به مواد رنگرا ارزیابی کرد. MOF‌های پاسخگو به محرك انوع مختلفی از برهمکنش‌ها را با آلاینده‌های محیطی تشکیل می‌دهند که شامل پیوندهای هیدروژنی، برهمکنش‌های π - π ، برهمکنش‌های الکترواستاتیکی، کمپلکس شدن و برهمکنش‌های آب‌گریز است.

جدول ۱: استفاده از نانوکامپوزیت‌های MOF هوشمند پاسخگو به محرك برای اصلاح آلاینده‌های مواد رنگرا و محیط‌زیستی

Table 1: Application of stimuli-responsive MOF composites during environmental remediation

Analyte	Class of analyte	Matrix	Stimuli-responsive MOFs	Stimulus	Performance parameters	Reference
CO ₂ /N ₂ and SO ₂ /N ₂ gas separation	Gas	Gas	Light-responsive hierarchical metal organic frameworks constructed mixed matrix membranes	Light	CO ₂ (SO ₂)/N ₂ selectivity of 78(420)	(46)
Fluoroquinolones	Antibiotic	Water samples	pH/thermo dual-responsive microporous polymeric microspheres	pH and temperature	High recovery values (93.1–97.2%), a high enrichment factor (180), and good precision (RSD < 8%, n = 6)	(46)
Congo red	Dye	Wastewater	Microporous photoresponsive azobenzene dicarboxylate MOFs of Al ³⁺ (Al-AZB) and Zr ⁴⁺ (Zr-AZB)	Light	The maximum adsorption capacity of Al-AZB and Zr-AZB was 456.6 mg g ⁻¹ and 128.9 mg g ⁻¹ , respectively	(47)
Na ⁺ , K ⁺ and Li ⁺ ions	Monovalent metal ions	Water samples	Crosslinked poly(Nisopropylacrylamide-coacryloylamidobenz-18-crown-6) functionalized MOF-808	Temperature	High adsorption capacity of 1.04 mmol g ⁻¹ and excellent selectivity up to 29.4 for Na ⁺ /Li ⁺ and 34.4 for K ⁺ /Li ⁺	(48)
Chromium (VI) ions	Heavy metal ions	Wastewater	Visible-light responsive PPynt@NH ₂ -MIL-125 nanocomposite	Light	99.02% Cr(VI) reduction	(49)
CO ₂ and N ₂	Gases	Air	UiO-66 frameworks with azobenzene functionalities	Light	High selectivity	(50)
Alkylphenols	Phytochemicals	Water	Thermo-responsive polymer PNIPAM tethered to Fe ₃ O ₄ @ SiO ₂ @ MOF coreshell magnetic microspheres	Temperature	High recoveries (78.7–104.3%) of alkylphenols	(50)
Methylene blue	Dye	Wastewater	Thermoresponsive ZIF-8 @PNIPAm-coMAA microgel composites	Temperature	High extraction efficiency	(51)

¹ Zhang

² Attapulgite

مقاله پژوهشی شده

Tetracycline	Antibiotic	Water	Temperature-responsive polymertethered Zr-porphyrin MOFs encapsulated carbon dot nanohybrids	Temperat ure	Removal efficiency for tetracycline was 90.93% in just 20 min	(43)
Fluoroquinolones	Antibiotic	Water samples	pH/thermo dual-responsive microporous polymeric microspheres	pH and temperat ure	High recovery values (93.1–97.2%), a high enrichment factor (180), and good precision (RSD < 8%, n = 6)	(52)
As(III) and As(V)	Heavy metal	Wastewa ter	magnetic zeolitic imidazolate frameworks (ZIF-8)	Magnetic field	Adsorption capacity was 30.87 and 17.51 mg g ⁻¹ , for As(III) and As(V), respectively	(53)
Fluoroquinolones	Antibiotics	Water	Core-shell titanium-based MOF functionalized magnetic microsphere	Magnetic field	Extraction recoveries in the range of 83.8–109.4% with the RSDs lower than 8.9%	(54)
Methyl orange	Dye	Wastewa ter	Zolitic imidazolate framework cobaltderived ZIF-67	Light	more than 88% of MO is degraded within 1 h	(55)
Sulfamethoxazole	Antibiotic	Water	UiO-66-NH ₂ /Ag ₃ PO ₄ MOF-nanoparticle composites	Light	Adsorption capacity of 200 mg g ⁻¹	(42)
Tetracycline	Antibiotic	Water	MOFs composites based on TiO ₂ and MIL-53(Fe)	Light	Adsorption capacity of 287.18 mg g ⁻¹	(56)

در سال‌های اخیر بررسی‌های زیادی در مورد استفاده از MOF‌ها در طی تصفیه محیط‌زیست گزارش شده است. به عنوان مثال، اولادوی^۱ و همکاران (۱۸) استفاده از آب آلوده به مواد رنگزا با استفاده از نانوکامپوزیت‌های MOF را بررسی کرد. راجپوت^۲ و همکاران (۵۷) استفاده از MOF‌ها برای تصفیه فاضلاب مواد رنگزا را مورد بررسی قرار داد. از سوی دیگر، عبدالحمید و متیو (۵۷) یک بررسی جامع در مورد کاربردهای چندوجهی نانوکامپوزیت‌های سلولز-MOF از جمله تصفیه محیط‌زیست و مواد رنگزا منتشر نمودند. اکثر این پژوهش‌ها کاربرد MOF‌های پاسخ‌گو به محرك‌ها را در برای تصفیه محیط‌زیست آلوده بررسی نمی‌کنند. مقالات نسبتاً کمی در منابع وجود دارد که کاربرد MOF‌های هوشمند را در تصفیه محیط‌زیست و حذف آلاینده‌های مواد رنگزا بررسی کرده باشد؛ بنابراین، این مقاله با کاوشن در استفاده از MOF‌های هوشمند برای تصفیه فاضلاب و حذف آلاینده‌های مواد رنگزا، قصد دارد این شکاف تحقیقاتی را پر کند.

۲- کاربرد نانوکامپوزیت‌های MOF پاسخگو به محرك برای تصفیه محیط‌زیست

MOF‌های هوشمند پاسخگو به دما، نور و واکنش مغناطیسی توسط بسیاری از محققین برای تصفیه محیط‌زیست مورد استفاده قرار گرفته‌اند. این بخش به‌طور کامل کاربرد MOF‌های هوشمند پاسخگو حرارتی، MOF‌های پاسخگو به نور و MOF‌های پاسخگو به مغناطیسی را برای حذف آلاینده‌های مواد رنگزا و زیست محیطی بررسی می‌کند.

¹ Oladoye

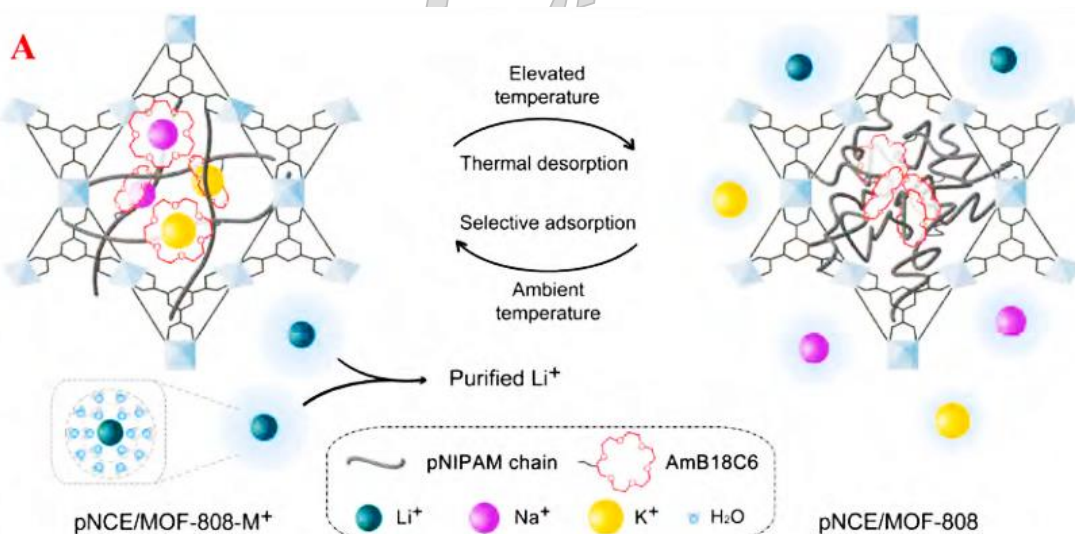
² Rajput

مقاله پذیرفته شده

۱-۲- نانوکامپوزیت‌های MOF پاسخگوی حرارتی

نانوکامپوزیت‌های MOF هوشمند پاسخگو به حرارت با ترکیب پلیمرهای پاسخگو به حرارت در ساختار آن‌ها ساخته می‌شوند (۵۶، ۵۷). وجود ترمومولکولی‌های پاسخگو باعث می‌شوند که خواص فیزیکی و شیمیایی نانوکامپوزیت‌های MOF به شیوه‌ای کنترل شده و برگشت‌پذیر در پاسخ به تغییرات دما تغییر کند (۵۸). پلیمرهای پاسخگو به حرارت که معمولاً در ساختار نانوکامپوزیت‌های MOF محبوس می‌شوند را می‌توان به پلیمرهای دمای محلول بحرانی پابین^۱ (LCST) و دمای محلول بحرانی بالا^۲ (UCST) طبقه‌بندی کرد. دمای محلول بحرانی (CST) دمایی است که در آن جداسازی فاز اتفاق می‌افتد. پلیمرهای نوع LCST آب‌دوسست هستند و در دمای کمتر از LCST خود با آب قابل امتصاص هستند در حالی که در دمای بالاتر از LCST خود آب‌گریز هستند (۵۹). از سوی دیگر، پلیمرهای نوع UCST در دماهای بالاتر از UCST خود آب‌دوسست و در دمای زیر UCST خود آب‌گریز هستند (۴۳).

پلیمرهای پاسخگو به حرارت ترکیب شده با نانوکامپوزیت‌های MOF توسط برخی از محققین برای حذف آلاینده‌های مواد رنگزا و زیست محیطی استفاده شده است (جدول ۱). به عنوان مثال، ژانگ و همکاران (۴۸)، از پلی شبکه‌ای مقابله N-isopropylacrylamide-co-6-crown-18-crown-18-crown-6 MOF-808 (pNCE/MOF-808) عامل دار (acryloylamidobenzo-18-crown-6) به عنوان یک جاذب انتخابی برای کاتیون‌ها در فاضلاب رنگی و حذف آلاینده‌های مواد رنگزا استفاده کرد (شکل ۱). حضور PNIPAM به جاذب با واکنش دما و کمپلکس benzo-18-crown-6 benzo-18-crown-6 باعث می‌شود که PNIPAM به دلیل اثر تطبیق اندازه، اثر کم‌آبی یون و ثابت آن را با میل اتصال و پیوشه کاتیونی اعطای کرد. جاذب NCE/MOF-808 p ترجیحاً می‌تواند به دلیل اثر تطبیق اندازه، اثر کم‌آبی یون و ثابت پایداری مجموعه cation-benzo-18-crown-6 Na⁺ K⁺ را جذب کند و Li⁺ را در دمای محیط باقی بگذارد. در دمای محیط، زنجیره‌های PNIPAM به دلیل این که دما کمتر از LCST آن‌ها بود، آب‌دوسست هستند و به دلیل تشکیل پیوندهای هیدروژنی قوی بین گروههای آمید و مولکول آب، ساختارهای سیمپیچ متورم داشتند. این امر باعث می‌شود که شبکه پلیمری شل شود و باعث می‌شود که مجموعه cation-benzo-18-crown-6 در معرض یون‌های فلزی قرار گیرد و درنتیجه جذب را تسهیل کند. در مقابل، دماهای بالاتر از ۴۵ درجه‌ی سانتی‌گراد باعث تورم‌زدایی زنجیره‌های پلیمری شده و باعث می‌شود آن‌ها در حالت فروپاشی قرار بگیرند که باعث تغییر شکل مکان‌های جذب شده و درنتیجه باعث افزایش دفع می‌شود.



شکل ۱: جذب انتخابی یون‌های فلزی تک‌طرفی و دما باعث دفع در pNCE/MOF-808 برگشت‌پذیر حرارتی می‌شود (۴۸).

Figure 1: Selective adsorption of monovalent metal ions and temperature-triggered desorption in thermally reversible pNCE/MOF-808 (48)

نانوکامپوزیت‌های MOF و پلیمرهای واکنش‌گر حرارتی توسط برخی از محققان برای حذف آلاینده‌های مواد رنگزا و زیست محیطی استفاده شده‌اند. به عنوان مثال، آلگرتو^۳ و همکاران، از یک میکروژل ZIF-8 MOF و یک پلیمر PNIPAM پاسخگو به حرارت برای جذب ماده رنگزای متیلن آبی از فاضلاب استفاده کردند. آن‌ها متاکریلیک اسید را به عنوان یک مونومر در طول سنتز میکروژل ترکیب کردند.

¹ lower critical solution temperature

² upper critical solution temperature

³ Allegretto

مقالات پژوهشی شناختی

حضور بخش‌های کربوکسیلیک اسید از متاکریلیک اسید باعث ایجاد هسته‌های ناهمنگ محدود از طریق پیش‌غلظت پیش‌سازه‌های MOF در نانوکامپوزیت می‌شود. نانوکامپوزیت دارای ترکیبی هم‌افزایی از خاصیت پاسخگوی حرارتی از PNIPAM و تخلخل بالا از MOF بود. آن‌ها با موفقیت از میکروژل برای جذب متین آبی از فاضلاب استفاده کردند و ظرفیت جذب نسبتاً بالایی و همچنین گزینش پذیری بالایی به دست آوردند که به دلیل ماهیت بسیار متخلخل میکروژل مبتنی بر MOF وجود منافذ تنظیم شده حرارتی آن بود. علاوه بر این، میکروژل را می‌توان به راحتی با تغییر شرایط دما بازیابی کرد. از مزایای MOF‌های پاسخگوی حرارتی ظرفیت جذب بالا و سرعت جذب و دفع سریع تر آن است. همچنین از معایب آن به محدودیت استفاده شرایط دمایی به دلیل پاسخگویی به حرارت اشاره کرد (۳۸).

۲-۲- نانوکامپوزیت‌های MOF پاسخگوی نوری

MOF‌های پاسخگو به نور دارای گونه‌های فعال نوری هستند که در ساختار خود تعییه شده‌اند (۴۶، ۴۹، ۶۰). برخورد آن‌ها با نور دارای طول موج و شدت مناسب باعث ایجاد تغییراتی در خواص فیزیک و شیمیایی آن‌ها حذف آلاینده‌های مواد رنگزا و زیست محیطی می‌شود (۴۷). این تغییرات شامل برانگیختن الکترون‌ها از باندهای ظرفیت به باندهای رسانایی و همپارش از سیس به ترانس و همچنین تغییرات در تخلخل، بافت یا ترکیب شیمیایی آن‌ها است (۴۲، ۵۵، ۵۶). برخی از محققان از این تحولات القا شده نوری MOF‌های پاسخگو به نور استفاده کرده و از آن‌ها برای توسعه جاذبهای کارآمد و غشاها برای حذف آلاینده‌های مواد رنگزا و زیست محیطی استفاده کرده‌اند (جدول ۱).

تاکنون، بسیاری از انواع مختلف MOF‌های پاسخگو به نور با موفقیت سنتز شده‌اند. به طور کلی می‌توان آنها را در سه نسل دسته‌بندی کرد. MOF پاسخگو به نور نسل اول از مولکول مهمان پاسخگو به نور برای القای خاصیت پاسخگوی نور خود استفاده می‌کند. مثالی برای این MOF‌ها توسط یانی^۱ و همکاران ارائه شده است که از نور مرئی برای تحریک انتشار CO₂ استفاده کرد. برخلاف نسل اول، MOF‌های نسل دوم و نسل سوم که به نور پاسخ می‌دهند از پیوندهای پاسخگو به نور برای القای خاصیت پاسخگو به نور استفاده می‌کنند. در نسل دوم، قسمت پاسخگو به نور به داخل منافذ MOF بیرون زده است. یکی از نمونه‌های معروف این MOF توسط ژو^۲ و همکارانش با سنتز یک MOF-57 ایزورتیکولار پاسخگو به نور ارائه شد. نقطه ضعف استفاده از MOF پاسخگو به نور نسل اول و نسل دوم این اسن که منافذ آن‌ها توسط مولکول‌های مهمان یا سایر بخش‌ها اشغال شده است. هنگامی که به عنوان جاذب استفاده می‌شود، این به طور بالقوه کارایی آن‌ها را کاهش می‌دهد. در حالی که در نسل سوم، پیوند پاسخگو به نور به عنوان چارچوب ستونی MOF عمل می‌کند. یک مزیت آشکار استفاده از MOF پاسخگو به نور نسل سوم وجود دارد: عدم وجود هر گونه مولکولی در منافذ آن. این باعث می‌شود که منافذ MOF پس از استفاده به عنوان جاذب کاملاً در دسترس باشد (۶۱).

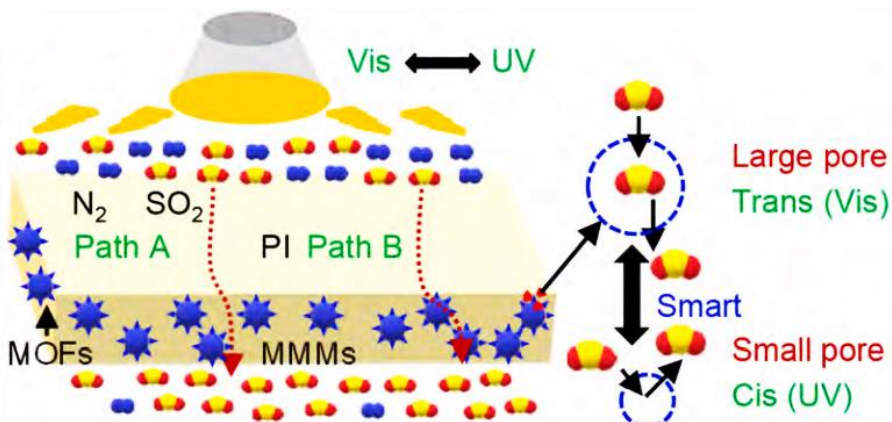
غشاها پاسخگو به نور توسط برخی از محققان برای تصفیه محیط‌زیست استفاده شده است. شین^۳ و همکاران (۴۶)، یک غشای ماتریس مخلوط متشکل از یک MOF پاسخگو به نور و ماتریس Matrimid 5218 MOF سنتز کرد. پاسخگو به نور با استفاده از Co(NO₃)₃0.6 H₂O به عنوان نمک فلزی و اسید 4,4'-azobenzenedicarboxylic استفاده کردند (شکل ۲). نتایج تجربی نشان داد که غشاء مبتنی بر MOF پاسخگو به نور برای جداسازی گازها (CO₂, SO₂ و N₂) استفاده کردند. نتایج تجربی نشان داد که غشاء مبتنی بر MOF پاسخگو به نور دارای گزینشگری N₂/SO₂ نسبتاً بالایی است. اثر الک اندازه غشاء مبتنی بر MOF پاسخگو به نور با اندازه منافذ ۳۵ نانومتر، گزینشگری را افزایش داد، در حالی که گروه N=N- تمایل بیشتری به مولکول‌های CO₂ به جای N₂ نشان داد. مکان‌های غشای ماتریس مخلوط به دلیل وجود بخش‌های آزو در ساختار آن، پاسخ‌دهی به نور را نشان دادند. گروه‌های آزو در غشاء، هنگامی که در معرض نور مرئی قرار می‌گیرند، دارای یک پیکربندی ترانس بودند که مکان‌ها را گسترش می‌داد و درنتیجه نفوذپذیری CO₂ و SO₂ را افزایش می‌داد. از سوی دیگر، بخش‌های آزو هنگام تابش اشعه ماوراء بنفش یک پیکربندی cis به خود گرفتند و این باعث کاهش قابل توجهی در اندازه منافذ غشاء و درنتیجه کاهش نفوذپذیری گازها شد (۴۶، ۶۲).

¹ Yanai

² Zhou

³ Xin

مقاله پذیرفته شده



شکل ۲: چارچوب‌های آلی فلزی سلسله مراتبی پاسخگو به نور هوشمند، غشاها ماتریس مخلوط را برای جداسازی گاز کارآمد ساخته‌اند (۴۶).

Figure 2: Smart light-responsive hierarchical metal organic frameworks constructed mixed matrix membranes for efficient gas separation. (46).

در مثال دیگری، خو^۱ و همکاران (۴۲)، نانوکامپوزیت‌های $\text{UiO-66-NH}_2/\text{Ag}_3\text{PO}_4$ MOF را سنتز کرد و با موفقیت از آن‌ها به عنوان جاذب سولفات‌کسازول در فاضلاب رنگی استفاده کرد (شکل ۳). حضور نانوذرات Ag_3PO_4 در جاذب به آن‌ها پاسخ‌دهی به نور می‌دهد. تبیین ساختاری نانوکامپوزیت $\text{UiO-66-NH}_2/\text{Ag}_3\text{PO}_4$ با استفاده از آنالیزهای XRD، SEM، TEM، TGA، XPS، FT-IR و BET انجام شد. نتایج تجربی نشان داد که جذب عمده‌ای به دلیل برهمکنش الکترواستاتیکی بین سولفات‌کسازول آنیونی و یون‌های Ag^+ از Ag_3PO_4 و به خوبی کمپلکس بین گروه‌های NH_2 از سولفات‌کسازول و یون‌های Ag^+ است. هنگامی که از این نانوکامپوزیت به عنوان جاذب استفاده کردند، آن‌ها ظرفیت جذب نسبتاً بالایی (200 mg g^{-1}) برای سولفات‌کسازول به دست آوردند. تابش نانوکامپوزیت- $\text{UiO-66-NH}_2/\text{Ag}_3\text{PO}_4$ با نور مرئی باعث تحریک عکس نانوذرات Ag_3PO_4 شد و این منجر به شکافت مولکول‌های آب شد. در طی تقسیم عکس مولکول‌های آب، Ag^+ به طور همزمان به Ag^0 کاهش یافت. این تبدیل Ag^0 به Ag^0 باعث تضعیف برهمکنش‌های الکترواستاتیکی بین سولفات‌کسازول آنیونی و یون‌های نقره در نانوکامپوزیت شد. درنتیجه دفع نوری سولفات‌کسازول از نانوکامپوزیت- $\text{UiO-66-NH}_2/\text{Ag}_3\text{PO}_4$ رخ داد. انتشار سولفات‌کسازول از نانوکامپوزیت غنی‌شده $\text{UiO-66-NH}_2/\text{Ag}_3\text{PO}_4$ بدون حلal و درنتیجه سازگار با محیط‌زیست بود (۴۶).



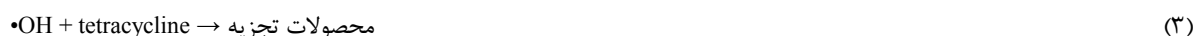
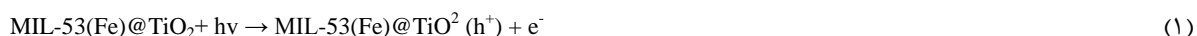
شکل ۳: نمودار طرح‌واره سنتز نانوکامپوزیت‌های $\text{UiO-66-NH}_2/\text{Ag}_3\text{PO}_4$ MOF NP و مکانیسم جذب و دفع آن‌ها برای حذف آلاینده‌های مواد رنگزا و زیست محیطی (۴۲).

Figure 3: The schematic diagram of the synthesis of $\text{UiO-66-NH}_2/\text{Ag}_3\text{PO}_4$ MOF NP composites and their adsorption-desorption mechanism. (42)

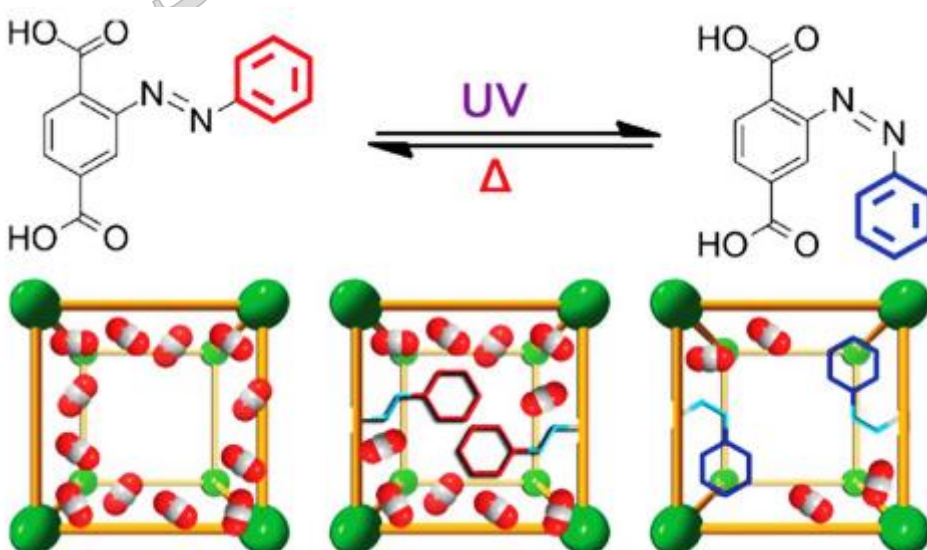
¹ Xu

مقالات پژوهشی شاخص

در پژوهش دیگری، زانگ و همکاران (۵۶)، از یک فرآیند حلال گرمایی تک مرحله‌ای برای سنتز یک نانوکامپوزیت MIL-53(Fe)@TiO₂ که به نور پاسخگو است استفاده کرد و از آن برای تصفیه تتراسایکلین در فاضلاب رنگی استفاده کرد. نتایج تجربی نشان داد که نانوکامپوزیت MIL-53(Fe)@TiO₂ سنتز شده دارای ظرفیت جذب افزایش یافته برای تتراسایکلین در هنگام تابش نور مرئی است. جذب تتراسایکلین در نانوکامپوزیت MIL-53(Fe)@TiO₂ عمدتاً از طریق برهم‌کنش $\pi-\pi$ -رخ داده است. آن‌ها ظرفیت جذب نسبتاً بالایی در شرایط بهینه به دست آوردند. وجود Ti در نانوکامپوزیت دلیل پاسخگویی به نور بود. تابش نانوکامپوزیت غنی‌شده با الکترون‌های برانگیخته با نور مرئی (e⁻) در باند ظرفیت (VB) نانوکامپوزیت به نوار هدایت (CB) باعث ایجاد حفره‌های (h⁺) در VB شد. درنتیجه، +h⁺ و H₂O واکنش نشان داد تا رادیکال‌های OH[•] و O₂^{•-} همان‌طور که در واکنش‌های ۱ تا ۵ نشان داده شده است، تولید کند. در طول تجزیه عکس تتراسایکلین، n-n هتروجانکشن تشکیل شد و این فرآیند تجزیه را افزایش داد زیرا از نوترکیبی حامل‌های فتوژنیک جلوگیری کرد.



به منظور مقایسه کارایی نانوکامپوزیت چارچوب فلزی-آلی هوشمند در حذف آلاینده‌های مواد رنگزا با سایر آلاینده‌ها نظیر گازهای آلاینده، اثر همپارش تصویری پیوند بر ظرفیت جذب CO₂ برای اولین بار توسط ¹zo و همکارانش در سال ۲۰۱۲ مورد مطالعه قرار گرفت (۶۳). در آن کار، یک MOF قابل تغییر عکس، PCN-123، با ترکیب گروه جانبی AB به ۲-(فیل دیازنیل) ترفتالات به عنوان پیوند (شکل ۴) سنتز شد. پس از ۱ ساعت تابش اشعه ماوراء بنفش، ظرفیت جذب CO₂ از ۲۲/۹ به ۱۶/۸ سانتی‌متر مکعب بر گرم کاهش یافت و سپس با اندازه‌گیری مجدد به ۱۰/۵ سانتی‌متر مکعب بر گرم کاهش یافت که نشان‌دهنده کاهش ۵۳/۹ درصدی در جذب CO₂ است. چنین کاهش قابل توجهی در جذب CO₂ به تغییر ساختاری ناشی از عکس واحدهای آزوبنزن در منافذ MOF نسبت داده شد. ظرفیت جذب CO₂ می‌تواند با گرمایش حرارتی به ۱۳/۳٪ بیشتر از حالت اولیه برگردد که ناشی از افزایش محتوای ترانس و حذف حال با گرم کردن است. علاوه بر این، چرخه دوم تابش اشعه ماوراء بنفش ۴۶/۲٪ کاهش ظرفیت CO₂ را به دست آورد (۶۳).



شکل ۴: ایزومریزاسیون ترانس به سیس پیوند PCN-123 (PCN نشان‌دهنده شبکه‌های هم‌آرایی متخلخل) ناشی از تابش UV و ایزومریزاسیون سیس به ترانس ناشی از عملیات حرارتی. تصویر طرحواره که جذب CO₂ پیشنهادی را در PCN-123 trans MOF-5 و PCN-123 cis نشان می‌دهد. (۶۳)

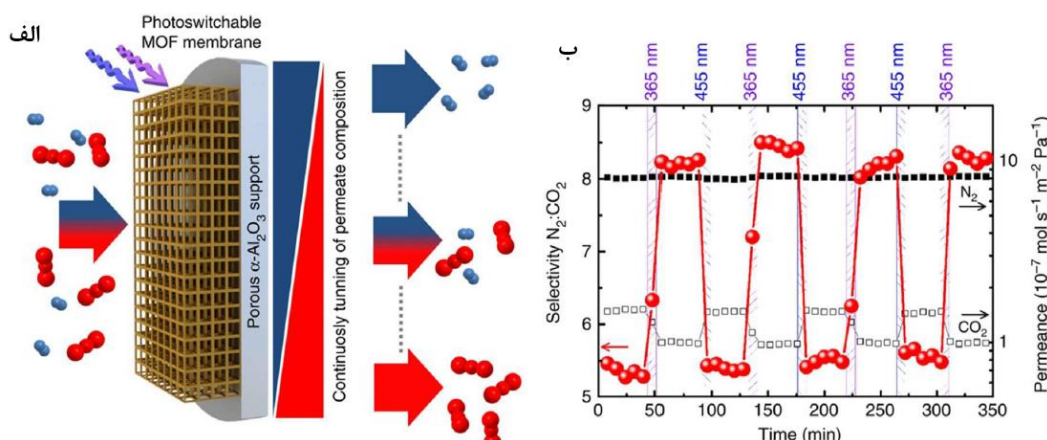
Figure 4: Trans-to-cis isomerization of the ligand of PCN-123 (PCN represents porous coordination networks) induced by UV irradiation and the cis-to-trans isomerization induced by heat treatment. Schematic illustration showing the suggested CO₂ uptake in MOF-5, PCN-123

¹ Zhou

مقاله پذیرفتاها شد

trans, and PCN-123 cis.(63)

جداسازی غشایی قابل تعویض با گرینش پذیری مولکولی قابل تنظیم و کنترل از راه دور توسط یک غشای MOF در مخلوط $N_2:CO_2$ در شکل ۵ نشان داده شده است. نفوذ N_2 و CO_2 به ترتیب به صورت مربع های جامد سیاه و مربع های باز سیاه با مقیاس لگاریتمی در سمت راست نشان داده شده است (۵۸). به طور کلی، ظرفیت جذب CO_2 جاذب جامد وابسته به فعل و انفعالات فیزیکی و شیمیایی بین نانو حفره ها یا مکان های فعال جهت جذب مولکول های CO_2 است. در گزارش های اخیر جاذب های MOF پاسخگو به نور برای جذب CO_2 مناسب هستند. طول موج نور اثر تعديل کننده متفاوتی بر روی جذب مولکول های مختلف گاز دارد لذا انتخاب پذیری CO_2 می تواند پس از تغییر ایزو مریزاسیون ترانس/سیس چارچوب فلزی-آلی ناشی از نور تغییر کند (۵۸).



شکل ۵: (الف) جداسازی غشایی قابل تعویض. تصویر از گرینش پذیری مولکولی قابل تنظیم و کنترل از راه دور توسط یک غشای MOF پاسخگو به نور، (ب) جداسازی مخلوط $N_2:CO_2$. نفوذ N_2 و CO_2 به ترتیب به صورت مربع های جامد سیاه و مربع های باز سیاه با مقیاس لگاریتمی در سمت راست نشان داده شده است (۶۳).

Figure 5: a) Switchable membrane separation. Schematic illustration of tunable, remote-controllable molecular selectivity by a photoswitchable MOF membrane, b) The separation of $N_2:CO_2$ mixtures. The permeances of N_2 and CO_2 are shown as black solid squares and black open squares, respectively, with the logarithmic scale on the right-hand side (58).

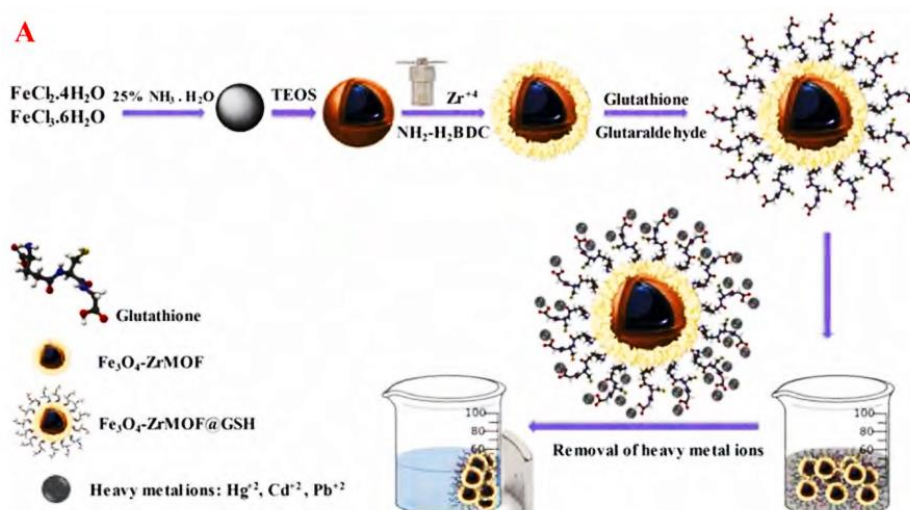
MOFها به دلیل ویژگی های ساختاری ذاتی شان که شامل سطح بزرگ و ساختار متخلخل و ترکیبی قابل تنظیم بین گره های فلزی و پیوندهای آلی می شود، در فوتوكاتالیز مزایای زیادی دارند (۶۴). این MOF ها دارای دقت بالا، جذب بسیار بالا و بازیافت پذیری هستند (۶۵). از معایب این MOF ها می توان به روش مصنوعی طولانی و تهدیدات زیست محیطی ناشی از برخی از حالات آلی مورد استفاده در طول سنتر آنها اشاره کرد (۶۶).

۲-۳- نانو کامپوزیت های MOF پاسخگوی مغناطیسی

ساخت MOF های پاسخگو به مغناطیسی می توانند به طور مؤثر برای حذف آلاینده های مواد رنگزا و زیست محیطی استفاده شوند (جدول ۱). MOF های پاسخگو به مغناطیسی غنی شده را می توان به راحتی پس از فرآیند اصلاح با اعمال میدان مغناطیسی خارجی از نمونه آنوه بازیابی کرد (۶۴)؛ بنابراین، قابلیت بازیافت MOF های پاسخگو به مغناطیسی پس از استفاده، ویژگی اصلی آن هاست که توجه برخی از محققان را در طول تصفیه محیطی به خود جلب کرده است. تعداد زیادی از فعل و انفعالات بین MOF های واکنش دهنده مغناطیسی و آلاینده ها در طول تصفیه محیطی رخ می دهد. این ها شامل پیوندهای هیدروژنی، برهمکنش های $\pi-\pi$ ، برهمکنش های آب گریز و برهمکنش های الکترواستاتیکی و همچنین کمپلکس شدن هستند (۵۲، ۵۳).

مقاله پژوهشی شنیده

برخی از محققان از MOF‌های واکنش‌دهنده مغناطیسی برای جداسازی فلزات سنگین از محیط‌های آلوده و رنگی استفاده کرده‌اند. به عنوان مثال، راغب^۱ و همکاران (۶۷)، یک جاذب را با تثبیت تریپتید‌گلوتاتیون بر روی سطح یک MOF مغناطیسی (Fe_3O_4) (ZrMOF@GSH) سنتز کرد و از آن برای حذف جذبی (II) Hg(II) و Cd(II) و Pb(II) استفاده کرد (شکل ۶). آن‌ها خواص جاذب را با استفاده از آنالیز SEM، XRD، FT-IR، EDA و BET مشخص کردند. نتایج نشان داد که جاذب دارای سطح نسبتاً بالایی برای جذب یون‌های فلزات سنگین است. درنتیجه، آن‌ها ظرفیت جذب نسبتاً بالایی را برای جیوه (II)، کادمیوم (II) و سرب (II) به دست آوردند که به ترتیب 431 mg g^{-1} , 393 mg g^{-1} و 397 mg g^{-1} بود. ایزوترم و سینتیک جذب برای جذب این یون‌های فلزات سنگین در Fe_3O_4 -ZrMOF@GSH به ترتیب با مدل لانگمویر و سینتیک شبه مرتبه دوم به خوبی توصیف شد. بازیابی استخراج برای این یون‌های فلزات سنگین نیز نسبتاً بالا بود و آن‌ها از ۹۵٪ تا ۹۸٪ متغیر بودند. جاذب Fe_3O_4 -ZrMOF@GSH قابل بازیافت بود که با جذب بیش از ۸۰ درصد از فلزات سنگین پس از ۱۰ چرخه بازسازی مشهود است. بازیابی جاذب Fe_3O_4 -ZrMOF@GSH با استفاده از یک میدان مغناطیسی خارجی تسهیل شد. ظرفیت جذب بالای به دست آمده پس از ۱۰ چرخه جذب/واجدب، نشان‌دهنده پتانسیل بزرگ بازیافت جاذب Fe_3O_4 -ZrMOF@GSH بود (۶۷).



شکل ۶: سنتز Fe_3O_4 -ZrMOF@GSH و کاربرد آن در جذب فلزات سنگین از نمونه‌های آب‌های رنگی (۶۷).

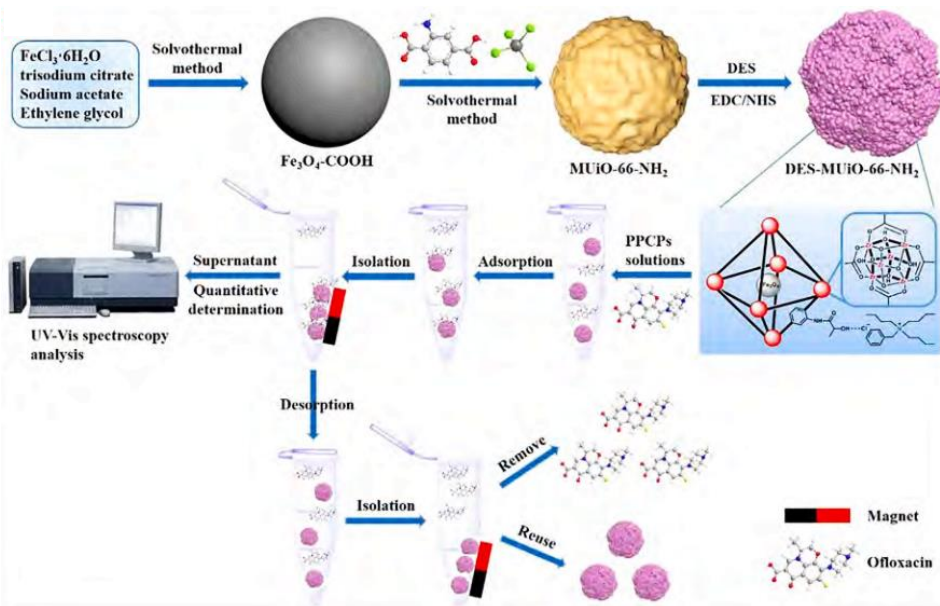
Figure 6: Synthesis of Fe_3O_4 -ZrMOF@GSH and its application during adsorption of heavy metals from colored water samples (67).

در مطالعه دیگری، وی^۲ و همکاران (۴۴)، یک نانوکامپوزیت چارچوب فلزی آلی مبتنی بر حلal فرا زود گداز (DES) پاسخگوی مغناطیسی (DES-MUiO-66-NH₂) را سنتز کرد و با موفقیت از آن به عنوان جاذب برای داروها و محصولات مراقبت شخصی (PPCPs) استفاده کرد (شکل ۷). جذب و سینتیک را می‌توان با استفاده از مدل ایزوترم لانگمویر و مدل سینتیک شبه مرتبه دوم به خوبی توصیف کرد. آن‌ها از دو PPCP، یعنی افلوکساسین و مفنامیک اسید، به عنوان آنالیت مدل استفاده کردند. تحت شرایط بهینه، آن‌ها ظرفیت جذب DES-MUiO-66-NH₂ را می‌توان با استفاده از مدل ایزوترم 22.79 mg g^{-1} برای افلوکساسین و مفنامیک اسید به دست آوردن. نتایج تجربی نشان داد که جذب بالایی به ترتیب 97.60 mg g^{-1} و 97.76 mg g^{-1} برای DES-MUiO-66-NH₂ بود. حضور گروه‌های NH_2 تشكیل پیوندهای هیدروژنی بین PPCPs و جاذب DES-MUiO-66-NH₂ را تسهیل کرد. از سوی دیگر، مراکز فلزی باردار، جذب PPCPs را از طریق کیلاسیون و برهمکنش‌های الکترواستاتیک تسهیل کردند. DES-MUiO-66-NH₂ غنی شده را می‌توان به راحتی از نمونه انبوه از طریق اعمال میدان مغناطیسی خارجی بازیابی کرد. با این حال، استفاده از دمای بالا در طول سنتز آن، سازگاری با محیط‌زیست آن را تحت تأثیر قرار می‌دهد (۴۴).

¹ Ragheb

² Wei

مقاله پذیرفته شده



شکل ۷: ساخت جاذب‌های $\text{DES}-\text{MUiO}-66-\text{NH}_2$ و کاربرد آن‌ها در PPCPs انتخابی (۴۴).

Figure 7: Fabrication of $\text{DES}-\text{MUiO}-66-\text{NH}_2$ adsorbents and their application in selective adsorption PPCPs (44).

این MOF‌ها را می‌توان با استفاده از آهنربا از محلول آبی یا خاک مخلوط جدا و بازیابی کرده و همچنین دارای انتخاب پذیری بالا، پراکندگی خوب و استفاده مجدد چندگانه است و مطابق با مفهوم سبز است (۶۸). همچنین دارای ظرفیت زیاد، هزینه کم، حذف سریع و جداسازی آسان فاز جامد هستند (۶۹). استفاده از اتصال دهنده‌های کوتاه امکان اتصال مغناطیسی بزرگ بین مراکز فلزی را فراهم می‌کند، اما امکان تخلخل را محدود می‌کند، در حالی که ترکیب با سایر واحدهای بزرگ‌تر که تخلخل ایجاد می‌کنند، ابعاد چارچوب را (از نظر مغناطیسی) کاهش می‌دهد، در نتیجه مقادیر دمای بحرانی پایینی دارد اما بیشترین محدودیت در پایداری آن‌ها است. در نهایت، استفاده از پیوندهای فلزی راحت‌ترین روش برای تهیه MOF‌های مغناطیسی با دمای بحرانی بالا به نظر می‌رسد، اگرچه تعداد محدودی از پیوندهای فلزی قادر به ترویج تبادل مغناطیسی وجود دارد (۷۰).

۳- نتیجه‌گیری

نانوکامپوزیت MOF هوشمند پاسخگو به محرك‌ها، جاذب‌های همه‌کاره ای برای حذف آلاینده‌های مواد رنگزا و زیست محیطی هستند. این ترکیبات جدید با موقیت توسعه پژوهشگران برای حذف آلاینده‌های مواد رنگزا و محیطی و همچنین در سامانه‌های غشایی به کار گرفته شده‌اند. نانوکامپوزیت‌های هوشمند MOF دارای خواص فیزیکی و شیمیایی قابل تنظیم هستند که در واکنش به محرك‌هایی مانند دما، نور و میدان‌های مغناطیسی برای تصفیه محیط‌زیست به شیوه‌ای کنترل شده تغییر می‌کنند. استفاده از آن‌ها در طول مطالعات جذب با ظرفیت‌های جذب بالا مشخص شده است و این را می‌توان به ماهیت بسیار متخلخل MOF‌های موجود در نانوکامپوزیت‌ها نسبت داد. همچنین تشکیل سامانه‌های غشایی هوشمند با اندازه منافذ قابل تنظیم توسط محرك را فعال کرده‌اند. وجود قسمت‌های پاسخ‌دهنده به محرك‌ها در نانوکامپوزیت‌های MOF همچنین سبزی جاذب‌ها را از طریق ایجاد دفع بدون حلحل افزایش می‌دهد؛ بنابراین، استفاده از حلحل‌های آلی زمانی به حداقل می‌رسد که MOF‌های پاسخ‌دهنده به محرك‌ها به عنوان جاذب برای تصفیه محیط‌زیست استفاده شوند. این ویژگی‌های جذب MOF‌های پاسخ‌دهنده به محرك‌ها، علائق بسیاری از محققین را برای تصفیه محیط‌زیست جلب کرد.

استفاده از MOF‌های هوشمند پاسخگو به محرك‌ها حذف آلاینده‌های مواد رنگزا و زیست محیطی با چالش‌های زیادی همراه است. به عنوان مثال، برخی از MOF‌های هوشمند پاسخگو به محرك‌ها قادر ثبات در آب هستند و نمی‌توانند شرایط شیمیایی سخت ایجاد شده توسط حضور آلاینده‌ها در محیط را تحمل کنند. فعل و اتفاقات بین فلزات و پیوندهای آلی در MOFs به طور کلی ضعیف است. در نتیجه، برخی از MOF‌های پاسخگو به محرك‌ها می‌توانند هنگام قرار گرفتن در معرض رطوبت، آب زیادی را جذب کنند و این باعث فروپاشی ساختار آن‌ها می‌شود که منجر به کاهش قابل توجهی در ظرفیت جذب آن‌ها می‌شود. پایداری یک MOF را می‌توان با استفاده از مراکز فلزی با حالت‌های اکسیداسیون بالاتر در طول ساخت آن افزایش داد؛ بنابراین، تلاش‌های تحقیقاتی باید به سمت توسعه MOF‌های پایدارتر از طریق ادغام فلزات با حالت اکسیداسیون بالاتر در ساختار آن‌ها هدایت شود. چالش دیگر این است که ساخت MOF‌های پاسخگو به محرك‌ها اغلب شامل استفاده از روش‌های مصنوعی پیچیده است که گاهی اوقات شامل استفاده از حلحل‌های آلی می‌شود.

مقاله پذیرفتاہ شد

چنین رویه‌های بیجیده‌ای مانع تجاری‌سازی MOF‌های پاسخ‌دهنده به محرك‌ها برای حذف آلاینده‌های مواد رنگزا و زیست محیطی می‌شوند، زیرا این امر منجر به هزینه‌های تولید بالاتر می‌شود. استفاده از حلال‌های آلی در طول سنتز MOF‌های پاسخ‌دهنده به محرك‌ها باعث می‌شود که از نظر محیطی جذابیت کمتری به عنوان جاذب داشته باشند. علاوه بر این، پیوندهای آلی مورداستفاده در طول سنتز MOF‌های هوشمند پاسخگو به محرك اغلب گران هستند.

سنتز نانوکامپوزیت‌های MOF هوشمند پاسخگو به محرك‌ها شامل استفاده از پیوندهای آلی، یون‌ها یا خوش‌های فلزات واسطه و مواد فعال محرك است. پیوندهای آلی که در طول ساخت آن‌ها استفاده می‌شود، معمولاً از صنایع پتروشیمی مشتق می‌شوند. این پیوندهای آلی غیرقابل تجزیه زیستی و معمولاً برای محیط‌زیست سمت هستند؛ بنابراین، تلاش‌های تحقیقاتی باید به سمت ساخت MOF‌های پاسخ‌دهنده به محرك‌ها با استفاده از پیوندهای جایگزین مانند مولکول‌های زیستی مانند پلی‌ساقاریدها هدایت شود. ادغام مولکول‌های زیستی در ساختارهای MOF‌های پاسخ‌دهنده به محرك‌ها، به آن‌ها قابلیت تجزیه زیستی و همچنین بخش‌های عملکردی اضافی را می‌دهد که حذف جذبی آلاینده‌ها از محیط را تسهیل می‌کند. ساخت MOF‌های هوشمند پاسخگو به محرك استفاده از فلزات سنگین به عنوان مراکز هم‌آرایی است. وجود فلزات سنگین در ساختار آن‌ها باعث می‌شود که MOF‌های پاسخگو به محرك‌ها ردپای محیطی نسبتاً بزرگی داشته باشند زیرا بیشتر این فلزات برای موجودات زنده سمت هستند؛ بنابراین، انتخاب یون‌های فلزی در طول ساخت MOF‌های هوشمند پاسخگو به محرك باید با دقت انجام شود تا در صورت امکان از یون‌های سمتی کمتری استفاده شود.

MOF‌های هوشمند پاسخگو به محرك‌ها را می‌توان به راحتی از نمونه‌های محیطی با تغییر شرایط محرك‌ها بازیابی کرد. با این حال، برخی به ناچار به محیط‌زیست راه پیدا می‌کنند. همان‌طور که قبل‌اشاره شد، برخی از MOF‌های پاسخگو به محرك برای محیط‌زیست سمت هستند؛ بنابراین، محققان باید تلاش‌های دیوانه‌واری برای ایجاد راههای مناسب و ایمن‌تر برای دفع MOF‌های پاسخ‌دهنده به محرك‌ها پس از استفاده انجام دهند. این امر به جلوگیری از تخلیه پلیمرهای پاسخگو به محرك در محیط کمک زیادی می‌کند. به علاوه، حداقل محدودیت‌های مجاز MOF‌های پاسخ‌دهنده به محرك‌ها در محیط، در مقالات وجود ندارد. این یکی دیگر از شکاف‌های تحقیقاتی است که باید توسط محققان برای مطالعات آتی بررسی شود. مقدار MOF‌های پاسخگو به محرك‌های مورداستفاده برای حذف آلاینده‌های مواد رنگزا و زیست محیطی را می‌توان با بهبود گزینش پذیری آن‌ها افزایش داد. یکی از راههای بهبود گزینش پذیری MOF‌های پاسخ‌دهنده به محرك، از طریق ادغام پلیمرهای حکشده مولکولی در ساختار آن‌ها است. این منجر به تشکیل MOF‌های هوشمند پاسخگو به محرك‌ها با حفره‌های شناسایی خاص برای آلاینده‌های خاص در محیط می‌شود و درنتیجه انتخاب پذیری را افزایش می‌دهد؛ بنابراین، محققان باید در تلاش‌های آینده‌شان، استفاده از MOF‌های حکشده مولکولی پاسخ‌دهنده به محرك‌ها را برای حذف آلاینده‌های مواد رنگزا و زیست محیطی بررسی کنند.

تشکر و قدردانی

نویسنده‌گان از حمایت پژوهشگاه رنگ تشکر و قدردانی می‌نمایند.

تعارض منافع

در این مقاله هیچ‌گونه تعارض منافعی توسط نویسنده‌گان گزارش نشده است.

مراجع

- Peng XX, Gai S, Cheng K, Yang F. Roles of humic substances redox activity on environmental remediation. *J Hazard Mater.* 2022;435:129070. doi:<https://doi.org/10.1016/j.jhazmat.2022.129070>
- Qu J, Shi J, Wang Y, Tong H, Zhu Y, Xu L, et al. Applications of functionalized magnetic biochar in environmental remediation: A review. *J Hazard Mater.* 2022;434:128841. doi:<https://doi.org/10.1016/j.jhazmat.2022.128841>
- Tang F, Yu H, Yassin Hussain Abdalkarim S, Sun J, Fan X, Li Y, et al. Green acid-free hydrolysis of wasted pomelo peel to produce carboxylated cellulose nanofibers with super absorption/flocculation ability for environmental remediation materials. *Chem Eng J.* 2020;395:125070. doi:<https://doi.org/10.1016/j.cej.2020.125070>
- Xu H, Jia Y, Sun Z, Su J, Liu QS, Zhou Q, et al. Environmental pollution, a hidden culprit for health issues. *Eco-Environment Heal.* 2022;1(1):31–45. doi:<https://doi.org/10.1016/j.eehl.2022.04.003>
- Wang F, Wang R, He Z. The impact of environmental pollution and green finance on the high-quality development of energy based on spatial Dubin model. *Resour Policy.* 2021;74:102451. doi:<https://doi.org/10.1016/j.resourpol.2021.102451>

6. Liu W, Xu Y, Fan D, Li Y, Shao XF, Zheng J. Alleviating corporate environmental pollution threats toward public health and safety: The role of smart city and artificial intelligence. *Saf Sci.* 2021;143:105433. doi:<https://doi.org/10.1016/j.ssci.2021.105433>
7. Jabbar KQ, Barzinjy AA, Hamad SM. Iron oxide nanoparticles: Preparation methods, functions, adsorption and coagulation/flocculation in wastewater treatment. *Environ Nanotechnology, Monit Manag.* 2022;17:100661. doi:<https://doi.org/10.1016/j.enmm.2022.100661>
8. Badawi AK, Zaher K. Hybrid treatment system for real textile wastewater remediation based on coagulation/flocculation, adsorption and filtration processes: Performance and economic evaluation. *J Water Process Eng.* 2021;40:101963. doi:<https://doi.org/10.1016/j.jwpe.2021.101963>
9. Kundu S, Karak N. Polymeric photocatalytic membrane: An emerging solution for environmental remediation. *Chem Eng J.* 2022;438:135575. doi:<https://doi.org/10.1016/j.cej.2022.135575>
10. Liu Q, Luo Y, Shi J. Reagent elution combined with positive pressure filtration: A zero-discharge method for cyanide tailings remediation. *J Environ Sci.* 2022;113:376–84. doi:<https://doi.org/10.1016/j.jes.2021.06.028>
11. Xiao H, Low ZX, Gore DB, Kumar R, Asadnia M, Zhong Z. Porous metal–organic framework-based filters: Synthesis methods and applications for environmental remediation. *Chem Eng J.* 2022;430:133160. doi:<https://doi.org/10.1016/j.cej.2021.133160>
12. Musarurwa H, Tavengwa NT. Application of carboxymethyl polysaccharides as bio-sorbents for the sequestration of heavy metals in aquatic environments. *Carbohydr Polym.* 2020;237:116142. doi:<https://doi.org/10.1016/j.carbpol.2020.116142>
13. Zhang N, Ishag A, Li Y, Wang H, Guo H, Mei P, et al. Recent investigations and progress in environmental remediation by using covalent organic framework-based adsorption method: A review. *J Clean Prod.* 2020;277:123360. doi:<https://doi.org/10.1016/j.jclepro.2020.123360>
14. Musarurwa H, Tavengwa NT. Sustainable extraction of pesticides in food and environmental samples using emerging green adsorbents. *Sustain Chem Pharm.* 2021;24:100545. doi:<https://doi.org/10.1016/j.scp.2021.100545>
15. Uriakhil MA, Sidnell T, De Castro Fernández A, Lee J, Ross I, Bussemaker M. Per- and poly-fluoroalkyl substance remediation from soil and sorbents: A review of adsorption behaviour and ultrasonic treatment. *Chemosphere.* 2021;282:131025. doi:<https://doi.org/10.1016/j.chemosphere.2021.131025>
16. Qi X, Yin H, Zhu M, Yu X, Shao P, Dang Z. MgO-loaded nitrogen and phosphorus self-doped biochar: High-efficient adsorption of aquatic Cu²⁺, Cd²⁺, and Pb²⁺ and its remediation efficiency on heavy metal contaminated soil. *Chemosphere.* 2022;294:133733. doi:<https://doi.org/10.1016/j.chemosphere.2022.133733>
17. Navaie Diva T. Various Adsorbents for Removal of Rhodamine B Dye: A Review. *J Stud Color World.* 2023;12(4):387–404. [In Persian]. doi: 20.1001.1.22517278.1401.12.4.6.7
18. Oladoye PO, Adegboyega SA, Giwa ARA. Remediation potentials of composite metal–organic frameworks (MOFs) for dyes as water contaminants: A comprehensive review of recent literatures. *Environ Nanotechnology, Monit Manag.* 2021;16:100568. doi:<https://doi.org/10.1016/j.enmm.2021.100568>
19. Pourebrahimi S, Pirooz M. Functionalized covalent triazine frameworks as promising platforms for environmental remediation: A review. *Clean Chem Eng.* 2022;2:100012. doi:<https://doi.org/10.1016/j.clce.2022.100012>
20. Rai PK. Novel adsorbents in remediation of hazardous environmental pollutants: Progress, selectivity, and sustainability prospects. *Clean Mater.* 2022;3:100054. doi:<https://doi.org/10.1016/j.clema.2022.100054>
21. He Y, Wang Y, Shi J, Lu X, Liu Q, Liu Y, et al. Incorporating metal–organic frameworks into substrates for environmental applications. *Chem Eng J.* 2022;446:136866. doi:<https://doi.org/10.1016/j.cej.2022.136866>
22. Qi X, Tong X, Pan W, Zeng Q, You S, Shen J. Recent advances in polysaccharide-based adsorbents for wastewater treatment. *J Clean Prod.* 2021;315:128221. doi:<https://doi.org/10.1016/j.jclepro.2021.128221>
23. Musarurwa H, Tavengwa NT. Application of polysaccharide-based metal organic framework membranes in separation science. *Carbohydr Polym.* 2022;275:118743. doi:<https://doi.org/10.1016/j.carbpol.2021.118743>
24. Jian N, Dai Y, Wang Y, Qi F, Li S, Wu Y. Preparation of polydopamine nanofibers mat as a recyclable and efficient adsorbent for simultaneous adsorption of multiple tetracyclines in water. *J Clean Prod.* 2021;320:128875.

doi:<https://doi.org/10.1016/j.jclepro.2021.128875>

25. Musarurwa H, Tawanda Tavengwa N. Extraction and electrochemical sensing of pesticides in food and environmental samples by use of polydopamine-based materials. *Chemosphere.* 2021;266:129222. doi:<https://doi.org/10.1016/j.chemosphere.2020.129222>
26. Orta M del M, Martín J, Santos JL, Aparicio I, Medina-Carrasco S, Alonso E. Biopolymer-clay nanocomposites as novel and ecofriendly adsorbents for environmental remediation. *Appl Clay Sci.* 2020;198:105838. doi:<https://doi.org/10.1016/j.clay.2020.105838>
27. Musarurwa H, Chimuka L, Tavengwa NT. Metal organic framework-based magnetic solid phase extraction of pesticides in complex matrices. *Microchem J.* 2021;171:106907. doi:<https://doi.org/10.1016/j.microc.2021.106907>
28. Najafi M, Abednatanzi S, Gohari Derakhshandeh P, Mollarasouli F, Bahrami S, Behbahani ES, et al. Metal-organic and covalent organic frameworks for the remediation of aqueous dye solutions: Adsorptive, catalytic and extractive processes. *Coord Chem Rev.* 2022;454:214332. doi:<https://doi.org/10.1016/j.ccr.2021.214332>
29. Sadiq AC, Olasupo A, Rahim NY, Ngah WSW, Suah FBM. Comparative removal of malachite green dye from aqueous solution using deep eutectic solvents modified magnetic chitosan nanoparticles and modified protonated chitosan beads. *J Environ Chem Eng.* 2021;9(5):106281. doi:<https://doi.org/10.1016/j.jece.2021.106281>
30. Heydari M, Gharagozlu M, Ghahari M. An Overview of the Types of Edible Metal Organic Framework (MOF) Nanostructures as Biocompatible and Efficient Dye Adsorbent. *J Stud Color World.* 2020;9(4):29–41. [In Persian]. doi: 20.1001.1.22517278.1398.9.4.5.5
31. Daglar H, Altintas C, Erucar I, Heidari G, Zare EN, Moradi O, et al. Metal-organic framework-based materials for the abatement of air pollution and decontamination of wastewater. *Chemosphere.* 2022;303:135082. doi:<https://doi.org/10.1016/j.chemosphere.2022.135082>
32. Peng H, Xiong W, Yang Z, Xu Z, Cao J, Jia M, et al. Advanced MOFs@aerogel composites: Construction and application towards environmental remediation. *J Hazard Mater.* 2022;432:128684. doi:<https://doi.org/10.1016/j.jhazmat.2022.128684>
33. Gorky F, Nambo A, Carreon ML. Cold plasma-Metal Organic Framework (MOF)-177 breathable system for atmospheric remediation. *J CO₂ Util.* 2021;51:101642. doi:<https://doi.org/10.1016/j.jcou.2021.101642>
34. Bhuyan A, Ahmaruzzaman M. Metal-organic frameworks: A new generation potential material for aqueous environmental remediation. *Inorg Chem Commun.* 2022;140:109436. doi:<https://doi.org/10.1016/j.inoche.2022.109436>
35. Khan S, Guan Q, Liu Q, Qin Z, Rasheed B, Liang X, et al. Synthesis, modifications and applications of MILs Metal-organic frameworks for environmental remediation: The cutting-edge review. *Sci Total Environ.* 2022;810:152279. doi:<https://doi.org/10.1016/j.scitotenv.2021.152279>
36. Zhu L, Meng L, Shi J, Li J, Zhang X, Feng M. Metal-organic frameworks/carbon-based materials for environmental remediation: A state-of-the-art mini-review. *J Environ Manage.* 2019;232:964–77. doi:<https://doi.org/10.1016/j.jenvman.2018.12.004>
37. Liu X, Shan Y, Zhang S, Kong Q, Pang H. Application of metal organic framework in wastewater treatment. *Green Energy Environ.* 2023;8(3):698–721. doi:<https://doi.org/10.1016/j.gee.2022.03.005>
38. Hayashi K, Matsuyama T, Ida J. A simple magnetite nanoparticle immobilized thermoresponsive polymer synthesis for heavy metal ion recovery. *Powder Technol.* 2019;355:183–90. doi:<https://doi.org/10.1016/j.powtec.2019.07.007>
39. Shamim MA, Zia H, Zeeshan M, Khan MY, Shahid M. Metal organic frameworks (MOFs) as a cutting-edge tool for the selective detection and rapid removal of heavy metal ions from water: Recent progress. *J Environ Chem Eng.* 2022;10(1):106991. doi:<https://doi.org/10.1016/j.jece.2021.106991>
40. Ahmad Isiyaka H, Jumbri K, Soraya Sambudi N, Uba Zango Z, Ain Fathiah Binti Abdullah N, Saad B. Effective adsorption of metolachlor herbicide by MIL-53(Al) metal-organic framework: Optimization, validation and molecular docking simulation studies. *Environ Nanotechnology, Monit Manag.* 2022;18:100663. doi:<https://doi.org/10.1016/j.enmm.2022.100663>
41. Musarurwa H, Tavengwa NT. Stimuli-responsive polymers and their applications in separation science. *React Funct Polym.* 2022;175:105282. doi:<https://doi.org/10.1016/j.reactfunctpolym.2022.105282>

42. Xu XY, Chu C, Fu H, Du XD, Wang P, Zheng W, et al. Light-responsive UiO-66-NH₂/Ag₃PO₄ MOF-nanoparticle composites for the capture and release of sulfamethoxazole. *Chem Eng J.* 2018;350:436–44. doi:<https://doi.org/10.1016/j.cej.2018.06.005>
43. Xia Z, Shi B, Zhu W, Lü C. Temperature-responsive polymer-tethered Zr-porphyrin MOFs encapsulated carbon dot nanohybrids with boosted visible-light photodegradation for organic contaminants in water. *Chem Eng J.* 2021;426:131794. doi:<https://doi.org/10.1016/j.cej.2021.131794>
44. Wei X, Wang Y, Chen J, Xu F, Liu Z, He X, et al. Adsorption of pharmaceuticals and personal care products by deep eutectic solvents-regulated magnetic metal-organic framework adsorbents: Performance and mechanism. *Chem Eng J.* 2020;392:124808. doi:<https://doi.org/10.1016/j.cej.2020.124808>
45. Zhang W, Sun P, Wang X, zhang X, ran L, Zhao Q, et al. Elevating the stability and adsorption performance of metal-organic frameworks by chitosan and attapulgite for capturing methylene blue in the water. *Mater Today Commun.* 2022;31:103601. doi:<https://doi.org/10.1016/j.mtcomm.2022.103601>
46. Xin Q, Cao X, Huang D, Li S, Zhang X, Xuan G, et al. Smart light-responsive hierarchical metal organic frameworks constructed mixed matrix membranes for efficient gas separation. *Green Chem Eng.* 2022;3(1):71–82. doi:<https://doi.org/10.1016/j.gce.2021.09.004>
47. Mogale R, Akpomie KG, Conradie J, Langner EHG. Dye adsorption of aluminium- and zirconium-based metal organic frameworks with azobenzene dicarboxylate linkers. *J Environ Manage.* 2022;304:114166. doi:<https://doi.org/10.1016/j.jenvman.2021.114166>
48. Zhang S, Ou R, Ma H, Lu J, Banaszak Holl MM, Wang H. Thermally regenerable metal-organic framework with high monovalent metal ion selectivity. *Chem Eng J.* 2021;405:127037. doi:<https://doi.org/10.1016/j.cej.2020.127037>
49. Choe J, Yang X, Yu J, Jang K, Kim M, An K. Visible- light responsive PPYnt@NH₂-MIL-125 nanocomposite for efficient reduction of Cr(VI). *Colloids Surfaces A Physicochem Eng Asp.* 2022;636:128147. doi:<https://doi.org/10.1016/j.colsurfa.2021.128147>
50. Prasetya N, Ladewig BP. An insight into the effect of azobenzene functionalities studied in UiO-66 frameworks for low energy CO₂ capture and CO₂/N₂ membrane separation. *J Mater Chem A.* 2019;7(25):15164–72. doi:[10.1039/C9TA02096A](https://doi.org/10.1039/C9TA02096A)
51. Allegretto JA, Giussi JM, Moya SE, Azzaroni O, Rafti M. Synthesis and characterization of thermoresponsive ZIF-8@PNIPAm-co-MAA microgel composites with enhanced performance as an adsorption/release platform. *RSC Adv.* 2020;10(5):2453–61. doi:[10.1039/C9RA09729E](https://doi.org/10.1039/C9RA09729E)
52. Li Z, Liu Q, Lu X, Deng C, Sun N, Yang X. Magnetic metal-organic framework nanocomposites for enrichment and direct detection of environmental pollutants by negative-ion matrix-assisted laser desorption/ionization time-of-flight mass spectrometry. *Talanta.* 2019;194:329–35. doi:<https://doi.org/10.1016/j.talanta.2018.10.058>
53. Huo J bo, Yu G, Wang J. Magnetic zeolitic imidazolate frameworks composite as an efficient adsorbent for arsenic removal from aqueous solution. *J Hazard Mater.* 2021;412:125298. doi:<https://doi.org/10.1016/j.jhazmat.2021.125298>
54. Lian L, Zhang X, Hao J, Lv J, Wang X, Zhu B, et al. Magnetic solid-phase extraction of fluoroquinolones from water samples using titanium-based metal-organic framework functionalized magnetic microspheres. *J Chromatogr A.* 2018;1579:1–8. doi:<https://doi.org/10.1016/j.chroma.2018.10.019>
55. Tran NT, Trung LG, Nguyen MK. The degradation of organic dye contaminants in wastewater and solution from highly visible light responsive ZIF-67 monodisperse photocatalyst. *J Solid State Chem.* 2021;300:122287. doi:<https://doi.org/10.1016/j.jssc.2021.122287>
56. Zhang X, Yuan N, Li Y, Han L, Wang Q. Fabrication of new MIL-53(Fe)@TiO₂ visible-light responsive adsorptive photocatalysts for efficient elimination of tetracycline. *Chem Eng J.* 2022;428:131077. doi:<https://doi.org/10.1016/j.cej.2021.131077>
57. Rajput K, Sareen S, Saini S, Kumar N, Sharma V, Mehta SK, et al. Metal organic frameworks as versatile platforms for wastewater remediation. *Mater Today Proc.* 2022;57:846–50. doi:<https://doi.org/10.1016/j.matpr.2022.02.457>
58. Yu H, Wang Z, Wu R, Chen X, Chan TWD. Water-dispersible pH/thermo dual-responsive microporous polymeric microspheres as adsorbent for dispersive solid-phase extraction of fluoroquinolones from environmental water

- samples and food samples. *J Chromatogr A.* 2019;1601:27–34. doi:<https://doi.org/10.1016/j.chroma.2019.05.004>
59. Musarurwa H, Tavengwa NT. Thermo-responsive polymers and advances in their applications in separation science. *Microchem J.* 2022;179:107554. doi:<https://doi.org/10.1016/j.microc.2022.107554>
60. Hosseini Naeini A, Kalaee M, Moradi O, Mahmoodi N. Investigating Factors Affecting the Removal of dyestuff from Wastewater Using Different Nanocomposites: A Review Study. *J Stud Color World.* 2023;12(4):343–368. [In Persian]. dor: 20.1001.1.22517278.1401.12.4.4.5
61. Prasetya N, Ladewig BP. Dynamic photo-switching in light-responsive JUC-62 for CO₂capture. *Sci Rep.* 2017;7(1):13355. doi:[10.1038/s41598-017-13536-4](https://doi.org/10.1038/s41598-017-13536-4)
62. Hadavi Moghadam B, Hasanzadeh M. Enhancing Photocatalytic Activity by Piezoelectric Effect in Dye Removal from Wastewater. *J Stud Color World.* 2022;12(2):117–131. [In Persian]. dor: 20.1001.1.22517278.1401.12.2.2.9
63. Park J, Yuan D, Pham KT, Li JR, Yakovenko A, Zhou HC. Reversible Alteration of CO₂ Adsorption upon Photochemical or Thermal Treatment in a Metal–Organic Framework. *J Am Chem Soc.* 2012;134(1):99–102. doi:[10.1021/ja209197f](https://doi.org/10.1021/ja209197f)
64. Khan MM, Rahman A, Matussin SN. Recent Progress of Metal-Organic Frameworks and Metal-Organic Frameworks-Based Heterostructures as Photocatalysts. *Nanomater* (Basel, Switzerland). 2022;12(16). doi:[10.3390/nano12162820](https://doi.org/10.3390/nano12162820)
65. Zheng HQ, Zhang L, Cui Y, Qian G. Dynamically responsive photonic metal–organic frameworks. *Adv Photonics.* 2023;5(05):3–4. doi:[10.11117/1.ap.5.5.054001](https://doi.org/10.11117/1.ap.5.5.054001)
66. Scandura G, Eid S, Alnajjar AA, Paul T, Karanikolos GN, Shetty D, et al. Photo-responsive metal-organic frameworks - design strategies and emerging applications in photocatalysis and adsorption. *Mater Adv.* 2023;4(5):1258–85. doi:[10.1039/d2ma01022d](https://doi.org/10.1039/d2ma01022d)
67. Ragheb E, Shamsipur M, Jalali F, Mousavi F. Modified magnetic-metal organic framework as a green and efficient adsorbent for removal of heavy metals. *J Environ Chem Eng.* 2022;10(2):107297. doi:<https://doi.org/10.1016/j.jece.2022.107297>
68. Zhao G, Qin N, Pan A, Wu X, Peng C, Ke F, et al. Magnetic Nanoparticles@Metal-Organic Framework Composites as Sustainable Environment Adsorbents. Fratoddi I, editor. *J Nanomater.* 2019;2019:1454358. doi:[10.1155/2019/1454358](https://doi.org/10.1155/2019/1454358)
69. Zhao X, Liu S, Tang Z, Niu H, Cai Y, Meng W, et al. Synthesis of magnetic metal-organic framework (MOF) for efficient removal of organic dyes from water. *Sci Rep.* 2015;5(1):11849. doi:[10.1038/srep11849](https://doi.org/10.1038/srep11849)
70. Mínguez Espallargas G, Coronado E. Magnetic functionalities in MOFs: From the framework to the pore. *Chem Soc Rev.* 2018;47(2):533–57. doi:[10.1039/c7cs00653e](https://doi.org/10.1039/c7cs00653e)